

## ارزیابی قابلیت رمبندگی خاک‌های لسی حوزه قرناوه در شمال کلاله، استان گلستان

ناصر حافظی مقدس<sup>۱\*</sup>، محمدرضا نیکودل<sup>۲</sup>، کاظم بهرامی<sup>۳</sup>

پذیرش مقاله: ۹۰/۱۲/۳

دريافت مقاله: ۹۰/۸/۴

### چکیده

از دیدگاه زمین‌شناسی مهندسی، خاک‌های رمبنده در گروه خاک‌های مسئله‌دار قرار می‌گیرند و مشکلات زیادی را برای پژوهه‌های عمرانی به ویژه در مناطق خشک و نیمه خشک ایجاد می‌نمایند. هم‌چنین این نوع خاک سبب تشديد فرسایش زمین و از بین رفقن پوشش گیاهی می‌شود. یکی از مهم‌ترین گروه خاک‌های رمبنده، لس‌ها می‌باشند. خاک‌های لسی، پوشش اصلی شمال کلاله در استان گلستان را تشکیل می‌دهند. این محدوده از جمله مناطق تحت فرسایش شدید در استان است که در سال‌های اخیر چندین سیل مخرب را نیز تجربه کرده است. همچنین تعداد قابل توجهی فروچاله در نهشته‌های لسی این منطقه تشکیل شده است. در این تحقیق به منظور بررسی و شناخت خاک‌های لسی، نمونه‌هایی به صورت دست نخورده تهیه و به آزمایشگاه منتقل و پارامترهای حدود اتربرگ، وزن واحد حجم، توزیع اندازه دانه‌ها، چگالی مخصوص و پارامترهای مقاومت بررشی تعیین شد. قابلیت رمبندگی این خاک‌ها با استفاده از نتایج آزمایش تحکیم مضاعف و همچنین بر اساس دو معیار هندی و کلونجر به دست آمد. نتایج این آزمایش‌ها نشان می‌دهد که این خاک‌ها جزو لس‌های رسی با خاصیت خمیری پایین بوده و مستعد رمبندگی می‌باشند. همچنین نتایج آزمایش‌های انجام شده نشان میدهد که افزایش نسبت تخلخل در این خاک‌ها باعث افزایش رمبندگی شده و افزایش میزان فعالیت کانی‌های رسی باعث کاهش رمبندگی خاک می‌شود.

**کلید واژه‌ها:** رمبندگی، آزمایش تحکیم مضاعف، لس، کلاله، استان گلستان

۱. دانشیار گروه زمین‌شناسی دانشگاه صنعتی شاهرود، [nhafezi@shahroodut.ac.ir](mailto:nhafezi@shahroodut.ac.ir)

۲. استادیار گروه زمین‌شناسی مهندسی دانشگاه تربیت مدرس، [nikudelm@modares.ac.ir](mailto:nikudelm@modares.ac.ir)

۳. کارشناسی ارشد زمین‌شناسی مهندسی [Bahrami.kazem@yahoo.com](mailto:Bahrami.kazem@yahoo.com)

\* مسئول مکاتبات

متخلخل و چسبندگی ضعیف بوده و در ادوار مختلف کواترنری ته نشست پیدا کرده‌اند. در این پژوهش به بررسی و شناخت این پدیده در لس‌های شمال کلاله در استان گلستان پرداخته شده است.

## ۲. موقعیت چگرایی و زمین شناسی

منطقه مورد مطالعه، شمال شهرستان کلاله در استان گلستان و در موقعیت جغرافیایی  $30^{\circ} 55' 55''$  تا  $37^{\circ} 45'$  عرض شمالی واقع شده است (شکل ۱). از نظر ساختمنی، این منطقه مورد مطالعه بخشی از زون گرگان - رشت است. بخش عمده حوضه مورد مطالعه پوشیده از نهشته های لسی و آبرفتی است. محدود رخنمون های سنگی در حوزه آبریز قرنواه شامل آهک، دولومیت، ماسه سنگ، شیل و مارن می باشد. ماسه سنگ ها توپوگرافی کم ارتفاع، و آهک های ضخیم تا توده ای و دولومیت ها بلندی ها و ارتفاعات را ساخته اند. در خصوص منشاء نهشته های لسی استان گلستان نظرات مختلف وجود دارد. پاشایی (۱۳۷۶) منشاء اصلی مواد لسی را به نهشته های سیلابی و تپه های ماسه ای واقع در فرورفتگی دریای خزر نسبت می دهد. نامبرده و برخی دیگر از محققین معتقدند لس های گلستان حاصل ترسیب گرد و غبار حمل شده به وسیله بادهای پلیستوسن از سرزمین ترکمنستان و اروپای خاوری هستند که در آخرین پسروی یخچالی دوره یکاترین به سوی ایران آمده اند (جعفری و همکاران، ۱۳۸۸) و از پای خاوری هستند که در آخرين پسروی یخچالی دوره حیدری (۱۳۶۹، عدلیی ۱۳۷۱) بر اساس نوع و مقدار کانی های سنگین برای لس های شرق و غرب خزر منشاء های متفاوتی را در نظر می گیرد. برخی آزمایش ها نیز نشان می دهد خاستگاه اولیه لس های گلستان یک توده گرانیتی تا شبه گرانیتی در شمال دریاچه آرال بوده است. درصد تشابه عناصر اصلی در لس های منطقه با کشورهای همسایه شمالی مشخص می کند که لس های حوضه قره تیکان با لس های آسیای میانه به ویژه ازبکستان و تاجیکستان از یک منشاء می باشد (گیاهی ۱۳۸۹). به عقیده (خواجه ۱۳۸۱) نیز این خاک ها در شرایط آب و هوای سرد و خشک ایجاد شده اند و جهت بادهای غالب در

## ۱. مقدمه

در زمین‌شناسی مهندسی، خاک رمبنده خاکی ناپایدار، دارای ساختار سست، متخلخل و در حالت طبیعی غیراشباع است. این خاک‌ها در حالت خشک، مقاومت بالایی دارند اما در اثر اشباع شدن، ساختار آن‌ها فرو ریخته و دچار رمبندگی می‌شوند (قبادی ۱۳۸۵، حافظی مقدس ۱۳۹۰). در حالت خشک، سیمان شدگی طبیعی بین دانه‌ها و همچنین چسبندگی ذرات خاک، به علت پوششی از کانی‌های رسی عامل اصلی پیوستگی بین دانه‌ای است. اما به هر حال اشباع شدن این خاک‌ها باعث تخریب سیمان بین دانه‌ای و رها شدن کانی‌های رسی از ذرات سیلت می‌شود که خود عاملی برای ریزش ساختار خاک حتی بدون اعمال بار می‌باشد. در خاک‌های نیمه اشباع نیز پایداری خاک، به علت کشش مؤینه بوده و با اشباع Rafie et al., 2008) شدن خاک، این پدیده از بین می‌رود (Khalifa et al., 2010; Hormdee, 2008; می‌تواند مشکلاتی را برای پی سازه‌های مسکونی، پل‌ها، جاده‌ها، کانال‌های آبیاری و سایر اینهای فنی به وجود آورد. خاک‌های رمبنده در بسیاری از کشورهای دنیا به ویژه کشورهای نیمکره شمالی و در عرض‌های ۳۰ تا ۵۵ درجه، گسترش زیادی یافته‌اند. برای مثال در چین، لس‌ها در مساحتی بالغ بر ۶۳۰۰۰۰ کیلومترمربع گسترش یافته‌اند و بیش از ۶۰ درصد آن‌ها را خاک‌های با استعداد رمبندگی زیاد تشکیل می‌دهد (Derbyshire et al., 1995). خاک‌های رمبنده حدود ۱۶٪ از کل سطح خشکی‌های زمین را می‌پوشاند (Reznik, 2000; Khalifa et al., 2010) تا حدودی وابسته به تخلخل ذاتی است. خصوصیات اصلی خاک‌های رمبنده، تخلخل بالا (بیشتر از ۴۰٪)، اشباع شدگی پایین (کمتر از ۶٪)، درصد سیلت بالا (بیشتر از ۳۰٪ و گاهی تا ۹۰٪) و نرم شدن سریع در آب است (Rafie et al., 2008).

در قسمت وسیعی از شمال استان گلستان، سازند به هم پیوسته‌ای به شکل تپه ماهور دیده می‌شود که جنس آن از لس است که در سطحی معادل ۴۲۰۰ کیلومترمربع گسترش یافته است. لس‌ها نوع خاصی از خاک‌های سیلتی با ساختار

در منطقه و نیز از محل دیواره فروچاله‌ها برداشت شد و آزمایش‌های مختلف دانه‌بندی‌تر، هیدرومتری، حدود اتربرگ، وزن واحد حجم، برش مستقیم، XRD، کلسی‌متری، رطوبت در حالت اشباع، تحکیم و تحکیم مضاعف بر روی آنها انجام شد. در ادامه، خصوصیات خاک‌های مورد مطالعه همراه با نتایج ارزیابی خاصیت رمبندگی آنها مورد بررسی قرار گرفته است.

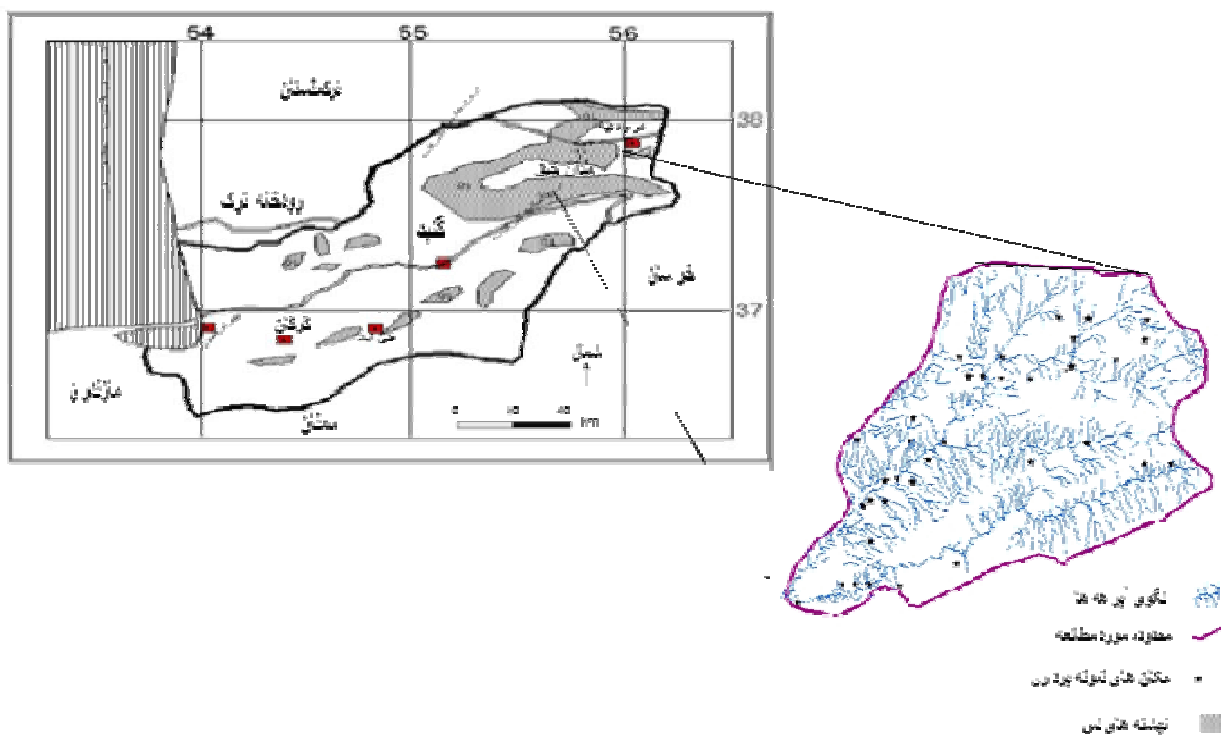
### ۳-۱. ویژگی شاخص خاک‌های لسی

نتایج خصوصیات فیزیکی و شاخص نمونه‌های مورد بررسی در جدول ۱ نشان داده شده است. همان‌طور که مشاهده می‌شود ذرات ماسه در نمونه‌های فوق از ۲ تا ۱۰ درصد، ذرات رسیت از ۵۴ تا ۷۲ و ذرات رس از ۲۳ تا ۴۱ درصد تغییر می‌کند. بنابراین بافت خاک عموماً لوم ماسه‌دار است و از نظر طبقه‌بندی یونیفاید در گروه CL طبقه‌بندی می‌گردد (شکل ۲).

تشکیل این رسوبات از سمت شمال غرب به سمت جنوب شرق بوده است (خواجه و همکاران، ۱۳۸۳). این خاک‌ها به علت ریز ساختارهای خاص، تراکم‌پذیری بسیار پایینی را در حالت خشک از خود نشان می‌دهند (Miao, 2001) اما وقتی این خاک‌ها، از آب اشباع شوند به شدت دچار کاهش مقاومت شده و ممکن است ساختار آن‌ها فروریخته و دچار رمبندگی شوند (Feda, 1996; Rogers et al., 1994; Gao, 1980; Geffenri اردکانی و همکاران، ۱۳۸۸).

### ۳. بررسی ویژگی رمبندگی لس‌های منطقه

در محدوده مطالعاتی تعداد زیادی فروچاله در داخل نهشته‌های لسی مشاهده می‌گردد. فروچاله‌ها در مراحل اولیه تشکیل، عموماً دارای دیواره‌های قائم هستند که شاهدی بر فروریختگی خاک است. از بین عوامل مختلف موثر بر تشکیل آنها فرض بر این است که خاصیت رمبندگی خاک نقش مهمی را در شروع تشکیل فروچاله‌ها دارد. جهت بررسی این موضوع ۱۴ نمونه خاک بلوکی از ترانشه‌های طبیعی موجود



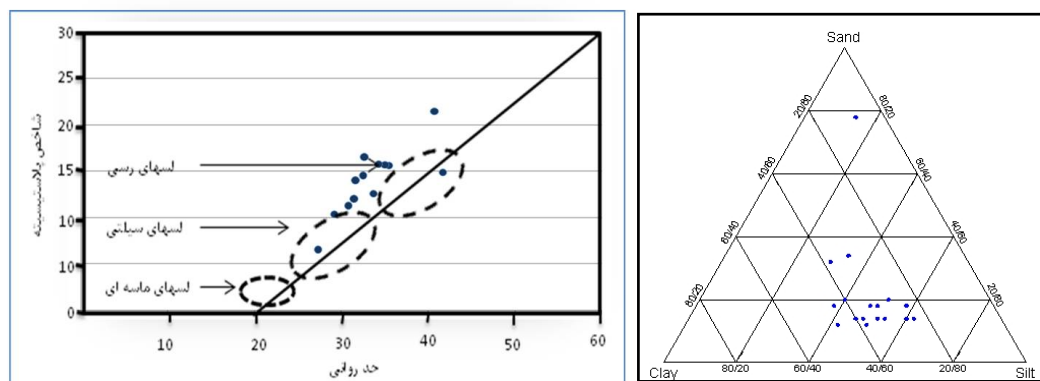
شکل ۱. موقعیت جغرافیائی منطقه مورد مطالعه و نقاط نمونه برداری

داربستی از بین می‌رود، لذا هر چه قدمت لس بیشتر باشد تخلخل آن کمتر خواهد شد.

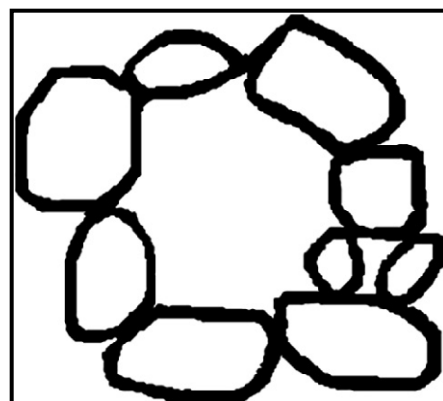
### ۲-۳. خصوصیات کانی‌شناسی

جهت تعیین نوع و درصد کانی تشکیل دهنده لس‌های مورد مطالعه، چهار نمونه خاک اخذ شده از ترانشه‌های عمیق مورد آزمایش XRF و XRD قرار گرفت. نتایج آزمایش‌های فوق نشان داد که کوارتز و کلسیت کانی اصلی تشکیل دهنده نمونه‌ها است و میانگین درصد رس حدود ۹ درصد و رس غالب در نمونه‌ها ایلیت است (جدول ۲). به عبارت دیگر کسر رسی در نمونه‌هایی که بیش از ۵۰ درصد می‌باشد، عمدتاً از جنس کوارتز یا کلسیت می‌باشد و تنها از نظر دانه‌بندی در حد رس است.

زاویه اصطکاک داخلی نمونه بین ۱۵ تا ۲۵ درجه تغییر می‌کند در حالی که چسبندگی آنها ناچیز است. نسبت فضاهای خالی اندازه‌گیری شده در هفت نمونه بین ۰/۵۸ تا ۱/۱۶۳ است که نشان‌دهنده ساختمان پوک و متخلخل است. اصولاً ساختمان لس‌ها غالباً به صورت لانه زنیوری است. در این ساختمان ته نشینی ذرات برخلاف ماسه‌ها تنها تحت تأثیر نیروی ثقل نیست بلکه نیروی بین دانه‌ای نیز در آن مؤثر است. در این ساختمان ذرات رس مشابه پلی بین ذرات سیلت قرار دارند و نقش سیمان را ایفا می‌کنند. ساختمان فوق بسیار متخلخل است و فضاهای خالی بین ذرات ممکن است بزرگ‌تر از اندازه ذرات تشکیل دهنده باشد (شکل ۳). این نوع تخلخل را تخلخل شبکه‌ای یا داربستی می‌نامند (Yuan and Wang, 2009).



شکل ۲. موقعیت نمونه‌های در نمودار بافتی و رده بندی نمونه‌ها در طبقه‌بندی یونیفاید



شکل ۳. ساختمان لانه زنیوری لس‌ها (Yuan and wang, 2009)

جدول ۱. خصوصیات پایه خاک‌های لسی شمال کالله

شماره نمونه	چگالی دانه‌ها (g/cm <sup>3</sup> )	نسبت پوکی	زاویه اصطکاک داخلی (°)	چسبندگی (Kg/cm <sup>2</sup> )	شاخص خمیری (درصد)	حد خمیری (درصد)	عدد فعالیت
۱	۲/۶۸	۰/۵۸	۲۰/۶۵	۰	۱۶/۵	۱۶/۲	۰/۴۱۵
۲	۲/۷۰	۰/۷۸۹	۲۲/۵۱	۰	۱۵/۶۵	۱۹/۸۵	۰/۴۱۵
۳	۲/۷۱	۰/۹۲۴	۱۷/۰۷	۰	۱۱/۲۳	۱۹/۵۵	۰/۳۰۲
۴	۲/۶۸	۰/۵۸۱	۱۸/۱۶	۰/۰۵۸	۲۱/۵	۱۹/۳	۰/۳۶۱
۵	۲/۷۱	۰/۶۱۵	۲۴/۳۸	۰	۱۵/۷۵	۱۹/۳۵	۰/۳۷۱
۶	۲/۷۲	۰/۷۴۴	۱۹/۹۵	۰	۱۰/۴	۱۸/۷۵	۰/۳۱۸
۷	۲/۷۳	۰/۷۰۹	۱۵/۱۴	۰/۱۱۴	۱۵/۸۵	۱۸/۴۵	۰/۴۲
۸	۲/۶۳	-	-	-	۳۶/۷۶	۴۶/۴۶	-
۹	۲/۶۷	-	-	-	۱۴/۹	۴۶/۷۷	-
۱۰	۲/۷۱	-	-	-	۱۴/۰۵	۱۷/۶۵	۰/۴۰۸
۱۱	۲/۷۴	۱/۱۶۳	۲۳/۵۹	۰	۶/۴۴	۲۰/۸۳	۰/۱۸
۱۲	۲/۷۲	۱/۱۴۵	۱۶/۷۴	۰	۱۱/۹۹	۱۹/۴۶	-
۱۳	۲/۶۸	۰/۶۹	۲۵/۰۹	۰/۱۸۹	۱۲/۵۹	۲۱/۱۱	-
۱۴	۲/۷۰	۰/۷۴۱	۲۰	۰	۱۴/۵۱	۱۷/۹۶	-

اصلاح شده تحکیم مضاعف شامل بارگذاری بر روی نمونه، تا یک مقدار مشخصی از تنفس است که در این لحظه بدون افزایش تنفس، نمونه را از آب اشباع کرده و تغییر حجم نمونه، اندازه‌گیری می‌شود. کاهش نسبی ارتفاع خاک، بعد از اشباع شدن خاک را می‌توان به عنوان ضریب رمبندگی بیان نمود (Clevenger, 1958, Bell, 2002, Baecher and Christian, 2003).

$$C_p = \frac{\Delta e_c}{1+e_0} = \frac{\Delta H_C}{H_0} \quad (1)$$

در رابطه ۱ ضریب رمبندگی،  $\Delta H_C$  تغییر ارتفاع نمونه بعد از اشباع شدن کامل نمونه و  $H_0$  ارتفاع نمونه در حالت رطوبت طبیعی است. جدول ۳ استعداد رمبندگی خاک‌ها را بر اساس میزان رمبندگی آن‌ها نشان می‌دهد.

برای ارزیابی قابلیت رمبندگی خاک‌های لسی شمال کالله به روش جنینگر و نایت آزمایش تحکیم مضاعف در بارهای دست نخورده انجام شد. نتایج این آزمایش‌ها در جدول ۴ ارائه شده است.

جدول ۲. نتایج آنالیز XRD چهار نمونه مورد آزمایش

کوارتز	کلسیم	کربنات	فلدسبات (آلیت و به میزان خیلی کمتر اورتوکلاز)	ژپس	رس (ایلیت و کلریت)	درصد کانی‌های اصلی و فرعی
-۵۹/۶	۱۰/۳	-۲۲/۰	۹/۴-۹/۹	۰-۰/۶	۱۰-۱۵ (۸/۹) (میانگین)	

#### ۴. ارزیابی رمبندگی نمونه‌های مورد بررسی

برای ارزیابی قابلیت رمبندگی خاک‌ها، معیارهای متعددی ارائه شده است. در مطالعه حاضر از سه معیار (Jenningz and Knight, 1975) و (Clevenger, 1958) استفاده شده است. جنینگر و نایت نتایج آزمایش تحکیم مضاعف را برای ارزیابی کمی رمبندگی خاک به کار برده و به صورت یک معیار برای ارزیابی رمبندگی خاک‌ها ارائه دادند. آزمایش تحکیم مضاعف به این صورت است که دو آزمایش تحکیم بر روی دو نمونه خاک یکسان انجام می‌شود. یکی از این آزمایش‌ها بر روی نمونه‌ای با رطوبت طبیعی انجام شده و دیگری در شرایط اشباع می‌باشد. پس از مدتی آن‌ها این آزمایش را اصلاح کردند. آزمایش

قابل ملاحظه‌ای است. اگر چگالی خشک خاک بیشتر از ۱.۴۴ گرم بر سانتی متر مکعب باشد مقدار رمبندگی کم و اگر چگالی خشک، بین این دو مقدار باشد دارای قابلیت رمبندگی متوسط است (Clevenger, 1958 Rafie et al., 2008). جدول ۵ قابلیت رمبندگی خاک‌های لسی شمال کالاه را بر مبنای معیار کلونجر نشان می‌دهد.

جدول ۵. ارزیابی رمبندگی نمونه‌های مورد بررسی بر اساس

معیار کلونجر		
قابلیت رمبندگی	وزن واحد حجم g/cm <sup>3</sup>	شماره نمونه
کم	۱/۵۱	۲
متوسط	۱/۴۱	۳
کم	۱/۷	۴
کم	۱/۶۸	۵
کم	۱/۵۶	۶
زیاد	۱/۲۷	۱۱
زیاد	۱/۲۷	۱۲
کم	۱/۵۹	۱۳
کم	۱/۵۵	۱۴

هندي (1973) استفاده از نسبت حد روانی به درصد رطوبت خاک در حالت اشباع را برای تعیین رمبندگی خاک پیشنهاد نمود (Handy, 1973). خاک‌هایی که در آن‌ها نسبت مذکور کمتر از ۱ باشد رمبند و خاک‌هایی که این نسبت بیش از ۱ باشد غیررمبند محسوب می‌شود. جدول ۶ قابلیت رمبندگی خاک‌های لسی شمال کالاه را بر مبنای معیار هندی نشان می‌دهد.

از بين سه روش مورد استفاده در ارزیابی استعداد رمبندگی خاک‌های لسی مورد بررسی، روش جنینگر و نایت از دقت بيشتری برخوردار است. در اين روش سه نمونه ۱۳، ۷ و ۱۴ به عنوان ضريب رمبندگی متوسط يا فاقد رمبندگی ارزیابی شده‌اند و سایر نمونه‌ها رمبندگی شدید تا خيلي شدید را نشان می‌دهند. نمونه‌هایی که در روش جنینگر و نایت رمبندگی خيلي شدید دارند، در دو روش ديگر نيز داراي استعداد رمبندگی شناخته شده‌اند.

### جدول ۳. ارزیابی شدت رمبندگی

(Nouaouria et al., 2008)

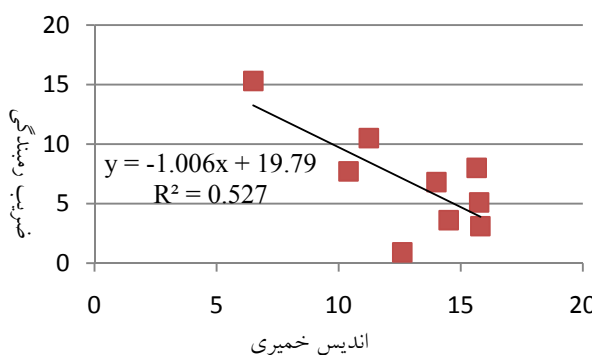
ضریب رمبندگی	استعداد رمبندگی
۰ - ۱	ناجیز
۱ - ۵	متوسط
۵ - ۱۰	شدید
۱۰ - ۲۰	خيلي شدید
۲۰ <	فوق العاده شدید

جدول ۴. مقادیر ضربی رمبندگی بر اساس

### نتایج آزمایش تحکیم مضاعف

شدت رمبندگی	ضریب رمبندگی	میزان تنش (Kpa)	شماره نمونه
شدید	۸	۴۰۷/۶	۲
متوسط	۲/۷	۱۰۱/۹	۳
شدید	۶/۵	۲۰۳/۸	
خيلي شدید	۱۰/۵	۴۰۷/۶	
شدید	۵/۱	۴۰۷/۶	۵
متوسط	۳	۱۰۱/۹	۶
شدید	۶/۱	۲۰۳/۸	
شدید	۷/۷	۴۰۷/۶	
متوسط	۳/۱	۴۰۷/۶	۷
شدید	۸/۷	۲۰۳/۸	۸
خيلي شدید	۱۳	۴۰۷/۶	
متوسط	۴/۹	۲۰۳/۸	۱۰
شدید	۶/۸	۴۰۷/۶	
شدید	۹/۶	۲۰۳/۸	۱۱
خيلي شدید	۱۵/۳	۴۰۷/۶	
خيلي شدید	۱۴/۲	۲۰۳/۸	۱۲
فوق العاده شدید	۲۲	۴۰۷/۶	
بدون مشکل	۰/۳	۲۰۳/۸	۱۳
بدون مشکل	۰/۹	۴۰۷/۶	
بدون مشکل	۰/۹	۱۰۱/۹	۱۴
متوسط	۱/۹	۲۰۳/۸	
متوسط	۳/۶	۴۰۷/۶	

معیار کلونجر (1958) بر مبنای چگالی خشک خاک است که بر اساس آن، اگر چگالی خشک خاک کمتر از ۱.۲۸ گرم بر سانتی متر مکعب باشد، در این صورت خاک، مستعد نشست



شکل ۵. رابطه بین ضریب رمبندگی و اندیس خمیری خاک

#### ۶. نتیجه گیری

نتایج این تحقیق نشان می‌دهد که خاک‌های لسی شمال کالله در طبقه‌بندی یونیفاید در گروه CL و ML قرار می‌گیرند. میزان چسبندگی به دست آمده برای اکثر نمونه‌ها نزدیک به صفر می‌باشد. زاویه اصطکاک داخلی نیز از ۱۵ تا ۲۵ متریغ است. با توجه به نتایج آزمایش‌های دانه‌بندی و XRD به نظر می‌رسد بخشی از ذراتی که قطری کمتر از ۲ میکرون دارند جزو کانی‌های رسی نبوده و فقط از نظر اندازه در گروه رس‌ها قرار می‌گیرند. براساس آزمایش‌های تحکیم مضاعف غالب نمونه‌های مورد بررسی مستعد پدیده رمبندگی می‌باشند و در صورت بارگذاری و اشباع شدن ممکن است دچار رمبندگی شوند. همچنین نتایج این مطالعه نشان می‌دهد که با افزایش میزان فعالیت خاک، رمبندگی خاک کاهش می‌یابد. و همبستگی زیادی بین تخلخل خاک و میزان رمبندگی آن وجود دارد. بطوريکه در اکثر نمونه‌ها با افزایش تخلخل، میزان رمبندگی خاک افزایش می‌یابد.

#### تشکر و قدردانی

این پژوهش با حمایت مالی معاونت پژوهشی دانشگاه صنعتی شهرورد انجام شده و از مساعت مسئولین محترم حوزه پژوهشی این دانشگاه قدردانی می‌گردد.

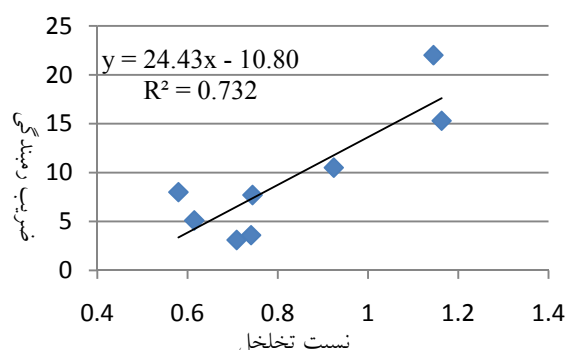
#### ۵. بررسی رابطه بین رمبندگی و سایر خصوصیات خاک

رابطه بین ضریب رمبندگی با نسبت فضاهای خالی و شاخص پلاستیسیته نمونه‌ها در شکل‌های ۴ و ۵ نشان داده شده است. مشاهده می‌گردد که ارتباط مستقیمی بین رمبندگی و نسبت فضاهای خالی و طبیعتاً رابطه معکوسی بین رمبندگی و دانسیته خاک وجود دارد. همچنین در شکل ۵ مشاهده می‌گردد که ضریب رمبندگی با افزایش اندیس پلاستیسیته خاک کاهش می‌یابد. شاخص پلاستیسیته خود تابعی از درصد و نوع کانی رسی است. بنابراین با افزایش درصد رس به ویژه رس‌های فعال نظیر مونت موریلوبنیت، ضریب رمبندگی کاهش خواهد یافت. همچنین با توجه به اطلاعات جدول ۴ رابطه معکوسی بین عدد فعالیت خاک و ضریب رمبندگی دیده می‌شود.

جدول ۶. قابلیت رمبندگی خاک‌های لسی شمال کالله بر

#### اساس معیار هندی

قابلیت رمبندگی	نسبت درصد رطوبت در حالت اشباع به حد روانی	درصد رطوبت در حالت اشباع	حد روانتی (%)	شماره نمونه
ندارد	۰/۸۵۶	۳۰/۴	۳۵/۵	۲
دارد	۱/۰۹۱	۲۳/۶	۳۰/۷۸	۳
ندارد	۰/۷۰۵	۲۸/۸	۴۰/۸	۴
ندارد	۰/۷۴۳	۲۶/۱	۳۵/۱	۵
دارد	۱/۰۰۸	۲۹/۴	۲۹/۱۵	۶
دارد	۱/۳۲	۲۶	۲۷/۲۷	۱۱
دارد	۱/۰۵۵	۳۳/۲	۳۱/۴۵	۱۲
ندارد	۰/۷۸۳	۲۶/۴	۳۳/۷	۱۳
ندارد	۰/۸۳۷	۲۷/۲	۳۲/۴۷	۱۴



شکل ۴. رابطه بین ضریب رمبندگی و نسبت تخلخل

## منابع

- پاشایی، ع.، ۱۳۷۶. بررسی ویژگی‌های فیزیکی و شیمیایی و چگونگی خاستگاه رسوب‌های لسی در منطقه گرگان و دشت. مجله علوم زمین، استان گلستان. ششمین کنفرانس زمین‌شناسی مهندسی، دانشگاه تربیت مدرس، ص. ۱۱۷۳-۱۱۶۱.
- جعفری اردکانی، ع.، بیات، ر.، پیروان، ح.ر.، شریعت جعفری، م.، چرخابی، اح.، ۱۳۸۸. بررسی وضعیت فرسایش و رسوب در نهشته‌های لسی حافظی مقدس، ن.، ۱۳۹۰. زمین‌شناسی مهندسی. انتشارات ارسس، ۴۸۸ صفحه.
- حیدری، م.، ۱۳۶۹. ساخت دستگاه تحکیم با فشار جانبی کنترل شده و بررسی پدیده رمبندگی در خاک‌ها. پایان‌نامه کارشناسی ارشد، دانشکده علوم پایه، دانشگاه تربیت مدرس، ۱۵۴ صفحه.
- خواجه، م.، ۱۳۸۱. بررسی رسوب‌شناسی، محیط رسوبی و رسوب زائی نهشته‌های کواترنر حوضه گرگان‌رود. رساله دکتری زمین‌شناسی، دانشگاه آزاد اسلامی واحد علوم و تحقیقات، ۲۵۰ صفحه.
- خواجه، م.، غیومیان، ج.، فیض‌نیا، س.، ۱۳۸۳. بررسی تغییرات جانبی اندازه ذرات و کانی‌شناسی به منظور تعیین برای بادهای غالب در تشکیل رسوبات لس استان گلستان. نشریه بیابان، جلد ۹، شماره ۲، ص. ۳۰۶-۲۹۳.
- گیاهی، س.، ۱۳۸۹. بررسی خصوصیات رسوب‌شناسی و نقش زیست محیطی لس‌های گرگان دشت. پایان‌نامه کارشناسی ارشد. دانشگاه تهران. گروه زمین‌شناسی، ۱۸۴ صفحه.
- عندلیبی، م.ج.، ۱۳۷۱. مشخصات منشاء و طبقه‌بندی لس‌های کواترنر پسین در حوضه خزر ایران. رساله کارشناسی ارشد دانشگاه آزاد واحد شمال، ۱۵۰ صفحه.
- Baecher, G.B., Christian, J.T., 2003. Reliability and Statistics in Geotechnical Engineering. John Wiley and Sons, London and New York, 605p.
- Bell, F.G., 2002. Engineering Properties of soils and Rocks. 3<sup>rd</sup> ed. Oxford, U. K. Butter Worth-Heinemann, 797p.
- Clevenger, W.A., 1958. Experiences with loess as a foundation material. Transactions American Society for Civil Engineers, 123: 51-80.
- Derbyshire, E., Meng, X.M., Wang, J.T., Zhou, Z.Q., Li, B.X., 1995. Collapse loess on the loess Plateau of China, genesis and properties of collapsible soils. Kluwer Dordrecht, 267- 293.
- Feda, J., 1996. Structural stability of subsident loess soils from Praha-Dejvice. Engineering Geology, 39(3):201- 219.
- Gao, G., 1980. Classification of loess microstructure and its collapsibility. Science in China Series 12: 1203-1208.
- Handy, R.L., 1973. Collapsible loess in Iowa. Soil sciences society of America proceedings, 37: 281 – 284.
- Hormdee, D., 2008. investigation on collapse potential of loess soil, Proceeding of the Eighteenth International Offshore and polar Engineering Conference Vancouver, BC, Canada, pp. 579-584.
- Jenningz, J.E., Kinght, k., 1975. A guide to construction or with materials exhibiting additional settlement due to collapse of grain structure. 6<sup>th</sup> regional conference for Africa on soil mechanics and foundation engineering, Durban, South Africa, September, pp: 99 -105.
- Khalifa. B., Salah. L.M., Farid, M., 2010. Prediction of collapsible soils by cone penetrometer and ultrasonic tests. studia geotechnical et mechanica, vol. xxxii, no ., pp. 3-22.
- Miao, T., 2001. Present status of collapse deformation mechanism of loess. In L. yusheng, W. Guolie (Eds.): Engineering and research on collapsible loess, China Architecture press, Beijing, pp:73- 82.
- Nouaouria, M.S., Guenfoud, M., Lafifi, B., 2008. Engineering properties of loess in Algeria. Engineering Geology, 99: 85 – 90.
- Rafie, B.M.A., Ziae Moayed, R., Esmaeli, M., 2008. Evaluation of soil collapsibility potential: A, Case Study of Semnan Railway Station. Electrical Journal of Geotechnical Engineering, 13(bundle G)..
- Reznik, Y.M., 2000. Engineering approach to interpretation of odometer tests performed on collapsible soils. Engineering geology, 57: 205- 213.
- Rogers, C.D.F., Dijkstra, T.A., Smalley, I.J., 1994. Hydroconsolidation and subsidence of loess: studies from China, Russia, North America and Europe. Engineering Geology, 37(2): 83-113.
- Yang, Y., 1988. Study on collapse mechanism of loess. Science in China Series (B) 7, pp: 754-766.
- Yuan, Z.X., Wang, L.M., 2009. Collapsibility and seismic settlement of loess. Engineering Geology,105:119– 123